

بررسی تجربی فرایند شکل دهی لوله های آلومینیومی با روش دمش گاز در دماهای بالا و تولید قطعات با سطح مقطع مربعی

مهرداد نصرالله زاده^۱، حسن مسلمی نائینی^{۲*}، سید جلال هاشمی^۳، بهنام عباسزاده^۴، جواد شهبازی کرمی^۵

- ۱- دانشجوی کارشناسی ارشد مهندسی مکانیک، دانشگاه تربیت مدرس، تهران
- ۲- استاد، مهندسی مکانیک، دانشگاه تربیت مدرس، تهران
- ۳- استادیار، مهندسی مکانیک، مؤسسه آموزش عالی کار، قزوین
- ۴- دانشجوی دکتری، مهندسی مکانیک، دانشگاه تربیت مدرس، تهران
- ۵- دانشجوی دکتری، دانشگاه تربیت دبیر شهید رجایی، تهران
moslemi@modares.ac.ir، ۱۴۱۱۵-۱۴۳ * تهران، صندوق پستی ۱۴۱۱۵-۱۴۳

چکیده

در سال های اخیر استفاده از آلیاژ های آلومینیوم و منیزیم به دلیل داشتن نسبت استحکام به وزن و مقاومت بالا در برابر خوردگی در صنایع هوا فضا و خودروسازی بسیار مورد توجه قرار گرفته است. مشکل اصلی در کاربرد این آلیاژ ها شکل پذیری کم در دمای اتاق می باشد. برای رفع این مشکل از شکل دهی در دماهای بالا استفاده می شود. از آنجا که دمای مقاومت حرارتی روغن بیشتر از 300°C نمی باشد، برای شکل دهی در دماهای بالا باید از سیالات دیگر مانند هوا و گاز نیتروژن استفاده کرد. در این پژوهش، تجهیزات شکل دهی دمشی در دماهای بالا ساخته شده و تغییر مقطع لوله های آلومینیومی AA6063 از دایره به مربع به صورت تجربی مورد بررسی قرار گرفت و با نتایج حاصله در دمای محیط مقایسه شده است. پس از تولید قطعات مربعی توزیع ضخامت، شعاع گوشه، فشار شکل دهی و اثر زمان اعمال فشار بر شکل گیری گوشه های نمونه های تولید شده در دماهای مختلف باهم مقایسه شد و محل وقوع پارگی نیز مورد بررسی قرار گرفت. نتایج نشان می دهد با افزایش دما، کاهش محسوسی در شعاع شکل گرفته شده و فشار شکل دهی به وجود آمده، به طوری که شعاع از 19.5 mm در دمای 25°C به 5.8 mm در دمای 500°C کاهش سرعت فرایند، گوشه های شکل گرفته شده تیزتر شده است. با بررسی پارگی مشاهده شده است که اکثر پارگی ها در ناحیه تبدیل مقطع دایره به مربع که دارای بیشترین تغییر شکل و کرنش کششی است اتفاق افتاده است.

اطلاعات مقاله

مقاله پژوهشی کامل	1394 شهریور ۳۰
پذیرش: ۲۹ مهر ۱۳۹۴	ارائه در سایت: ۱۴ آذر ۱۳۹۴
کلید واژگان:	آلومینیوم

شکل دهی با دمش گاز در دمای بالا
قطعه مربعی

Experimental investigation of Aluminum tubes hot gas forming and production of square cross-section specimens

Mehrdad Nasrollahzade¹, Hassan Moslemi Naeini^{1*}, Seyed Jalal Hashemi², Behnam Abbaszadeh¹, Javad Shahbazi Karami³

1- Department of Mechanical Engineering, Tarbiat Modares University, Tehran, IR Iran.

2- Department of Mechanical Engineering, Kar Higher Education Institute, Qazvin, IR Iran

3- Department of Mechanical Engineering, Shahid Rajaei Teacher Training University, Tehran, IR Iran.

*P.O.B. 14115-143, Tehran, moslemi@modares.ac.ir

ARTICLE INFORMATION

Original Research Paper

Received 21 September 2015

Accepted 21 October 2015

Available Online 05 December 2015

Keywords:

Aluminum

Gas Forming At High Temperatures

Square Parts

ABSTRACT

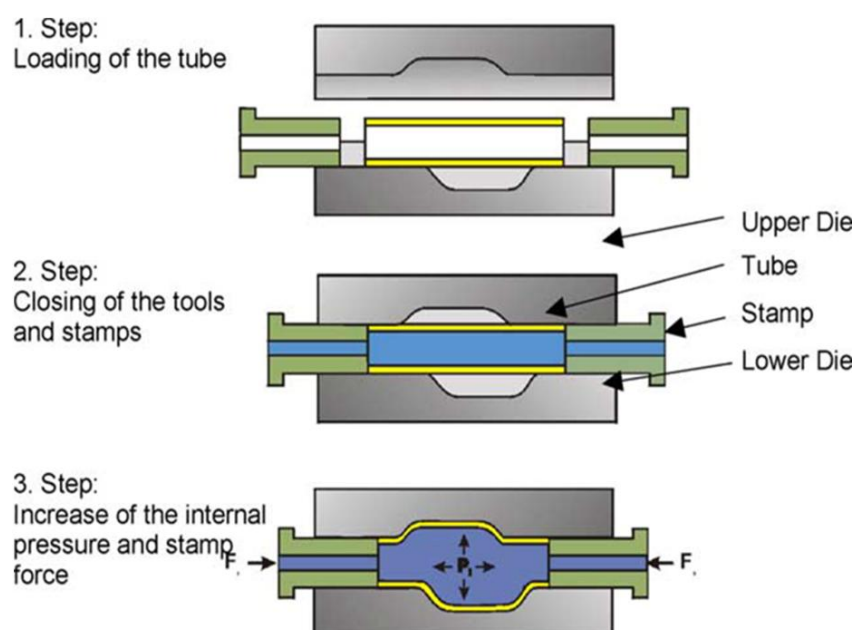
In recent years, aluminum, magnesium and titanium alloys have become highly regarded in the aerospace and automotive industries due to their high strength to weight ratio and resistance to corrosion. The main problem of the use of these alloys is their low formability at room temperature. To solve this problem, the metal forming process is done at high temperatures. Since oil's heat resistant temperature is not more than 300°C , other fluids such as air and nitrogen gas should be used at high temperatures. In this study, blow forming equipment at high temperatures has been developed, and changing of AL6063 tubes cross-section from circular to square is experimentally investigated and compared with the results of the experiments at room temperature. After producing square products, thickness distribution, corner radius, forming pressure, and effect of pressure time in corner radius at different temperatures were compared and the location of bursting was also examined. The results indicated that by increasing temperature, formed radius and pressure time significantly reduce, so that the amount of radius decreases from 19.5 mm at the temperature of 25°C and 154 bar forming pressure, to 5.8 mm in the temperature of 500°C at 11 bar forming pressure. The results showed that by increasing time pressure, which causes velocity of process to decrease, the formed corners become sharper. By investigating burst of specimens, bursting occurs in the area of converting circular cross section to square one, which has a high deformation and tensile strain.

Please cite this article using:

M. Nasrollahzade, H. Moslemi Naeini, S. J. Hashemi, B. Abbaszadeh, J. Shahbazi Karami, Experimental investigation of Aluminum tubes hot gas forming and production of square cross-section specimens, *Modares Mechanical Engineering*, Vol. 15, No. 12, pp. 435-442, 2015 (In Persian)

برای ارجاع به این مقاله از عبارت ذیل استفاده نمایید:

1- مقدمه



شکل ۱ فرایند هیدروفرمینگ لوله [4]

شکل ۱ فرایند هیدروفرمینگ لوله [4]

فرایند شکل دهنده در دماهای بالا انجام داده اند که در ادامه به تعدادی از آنها اشاره شده است.

لی و همکارانش هیدروفرم پذیری لوله های آلومینیومی (AA7075) بین دماهای اتاق تا دمای 300°C را مورد بررسی قرار دادند. بر اساس نتایج به دست آمده هیدروفرم پذیری با افزایش دما زیاد می شود [5]. کیگلر و همکارانش شکل پذیری، توزیع ضخامت دیواره و ریزساختار قبل و بعد از انجام فرایند و توزیع کرنش در دماهای بالا برای یک آلیاژ آلومینیومی مورد بررسی قرار دادند [6]. یوان و همکارانش تأثیر دما را بر روی خواص مکانیکی لوله های آلومینیومی (5A02) بصورت تجربی در فرایند هیدروفرمینگ لوله و آزمایش کشش تک محوری مورد بررسی قرار دادند. نتایج هر دو آزمایش نشان داد که تغییر طول و شکل پذیری لوله ها در دماهای بالا افزایش می یابد. بیشترین برآمدگی لوله ها در دماهای بین 200°C تا 300°C به دست آمد [7]. چوبی و همکارانش یک مدل تحلیلی برای تعیین تأثیر شرایط فرایند مانند دما، فشار هیدرولیکی، سرعت سنبه و نیروی ورق گیر در فرایند کشش عمیق هیدرومکانیکی ارایه دادند. مدل اجزای محدود نیز برای تایید نتایج تحلیل توسعه داده شد. بر اساس نتایج به دست آمده بحرانی ترین نقطه برای پارگی گوشه سنبه در نظر گرفته شد [8]. ضوئی و همکاران فرایند شکل دهنده داغ ورق آلیاژ آلومینیوم توسط گاز را مورد بررسی قرار دادند و به این نتیجه رسیدند با افزایش دما شکل پذیری افزایش می یابد و فشار مورد نیاز شکل دهنده کاهش می یابد [9]. سید کاشی و همکاران اثر ابعاد لوله، شعاع گوشه و نرخ کرنش بر میزان فشار داخلی بهینه و جابجایی محوری مورد نیاز برای شکل دهنده لوله های آلومینیومی در دمای 300°C مورد بررسی قرار داده و با استفاده از الگوریتم بازپخت منحنی های بارگذاری فشار و نیروی محوری را بهینه ساختند [10]. هی ژئو و همکارانش شکل پذیری و میکروساختار آلیاژ آلومینیوم AA6061 و انواع پارگی ها در دماهای بالا را مورد بررسی قرار دادند. در این مطالعه برآمدگی آزاد لوله های آلومینیومی در دماهای 350°C - 500°C درجه سانتی گراد به روش دمش گاز انجام شده است. نتایج نشان می دهد که با افزایش دما فشار ترکیدگی به شدت کاهش می یابد و سختی ویکرز نیز در مکان پارگی افزایش می یابد [11,3]. لیو گنگ و همکاران بر روی شکل دهنده گرم لوله ها با نسبت انسباط کم کار کردند. سیستم کار آنها به این صورت بوده که از سیستم خنکاری در دو انتهای لوله (محل اعمال تغذیه محوری) استفاده کردند و در منطقه تغییر شکل نیز از سیستم گرمایشی استفاده

در روش های سنتی برای تولید قطعات مربعی که به صورت یکپارچه با سطح مقطع دایروی هستند، ابتدا با روش خم کاری، با چند خم متوالی ورق صاف را به شکلی با سطح مقطع مربع درمی آورند؛ سپس دو انتهای ورق را به هم جوش می دهند؛ در نهایت قطعه مربعی تولید شده را با استفاده از جوش به لوله متصل می کنند. این روش معمای فراوانی دارد، از جمله زمان بربودن فرایند، بالا بودن هزینه تولید، دقت ابعادی پایین محصول نهایی، وزن بالای قطعه، وجود عیوب متعدد در خط جوش و غیر یکنواختی خواص قطعه به علت وجود جوش. برای برطرف کردن این عیوب و تولید قطعه ای پیوسته، در سال های اخیر، محققان تحقیقاتی را در زمینه هیدروفرمینگ این قطعات انجام داده اند و توانسته اند قسمت عمده ای از معایب روش سنتی را برطرف کنند. هیدروفرمینگ لوله دارای پیشینه تقریبا صد ساله می باشد ولی کاربرد آن در صنعت از حدود دو دهه پیش آغاز شده است. کاربردهای این روش شکل دهنده شامل ساخت قطعات لوله ای شکل بکار رفته در موتور و سیستم های خروج گاز می باشد. علاوه براین، تعداد زیادی از قطعات شاسی و بدنه مانند قطعات در و کاپوت نیز با فرایند هیدروفرمینگ تولید می شوند. مزیت اصلی این فرایند بالا بردن نسبت استحکام به وزن قطعات می باشد. از مزیت های دیگر این فرایند می توان به هزینه کمتر تجهیزات، عملیات اضافی کمتر پس از تولید، دقت ابعادی بالاتر و برگشت فنی کمتر و همچنین کاهش دور ریز اشاره کرد [1]. این فرایند بر خلاف فرایند اکستروژن، قادر به تولید قطعاتی توخالی با سطح مقطع متغیر می باشد. موفقیت این فرایند در گرو پارامترهای دخیل در فرایند می باشد. این پارامترها عبارتند از فشار داخلی، تغذیه محوری، ضربی اصطکاک و شکل پذیری ماده. برای تولید قطعه ای سالم ضروری است تمام این پارامترها به طور دقیق و صحیح انتخاب شود. شکل ۱ نمایی از فرایند هیدروفرمینگ لوله را نشان می دهد.

کاهش وزن قطعات مورد استفاده در صنعت حمل و نقل، یکی از مهم ترین روش های صرفه جویی در انرژی و کاهش گازهای گلخانه ای است. در سال های اخیر استفاده از آلیاژ های منیزیم و آلومینیم با توجه به لزوم تولید قطعاتی با وزن پایین و مقاومت در برابر خودگی در صنعت خودرو و هواپما مورد توجه قرار گرفته است. مشکل اصلی در کاربرد این آلیاژها، شکل پذیری پایین آن هاست. به دلیل وجود درصد بالای عناصر آلیاژی در آلیاژ های آلومینیوم و ساختار بلوری شش وجهی فشرده (HCP) در منیزیم، این فلزات دارای شکل پذیری پایین در دماهای اتاق به دلیل کاهش تعداد صفحات لغزش می باشند [2]. از این راه، تولید قطعاتی با هندسه پیچیده از این آلیاژها، به سختی توسط روش های شکل دهنده سرد سنتی انجام می شود. یکی از روش های مؤثر برای افزایش سیستم های لغزشی می باشد. بدین منظور محققان از روش هیدروفرمینگ گرم با استفاده از سیال روغن توسط گاز ارائه شده است. در استفاده از این محدودیت را دارد که به علت مقاومت گرمایی پایین روغن، نمی توان دمای فرایند را به بیش از 300°C سانتی گراد رساند [3]. به دلیل عدم وجود سیال مناسب با قابلیت تحمل دمای بالا، فرایند نوینی برای شکل دهنده داغ آلیاژ های آلومینیوم، منیزیم و تیتانیم توسط گاز ارائه شده است. در استفاده از گاز محدودیت دمایی وجود ندارد و دمای فرایند تا هر مقدار دلخواه می تواند افزایش یابد. این گاز ممکن است هوا یا گازهای خنثی از جمله نیتروژن و آرگون باشد. با افزایش دمای فرایند، نیروی شکل دهنده و فشار نیز کاهش می یابد. در سال های اخیر بسیاری از پژوهشگران تحقیقاتی را بر روی انجام

جدول 1 ترکیب شیمیایی لوله

Table 1 Chemical composition of tube

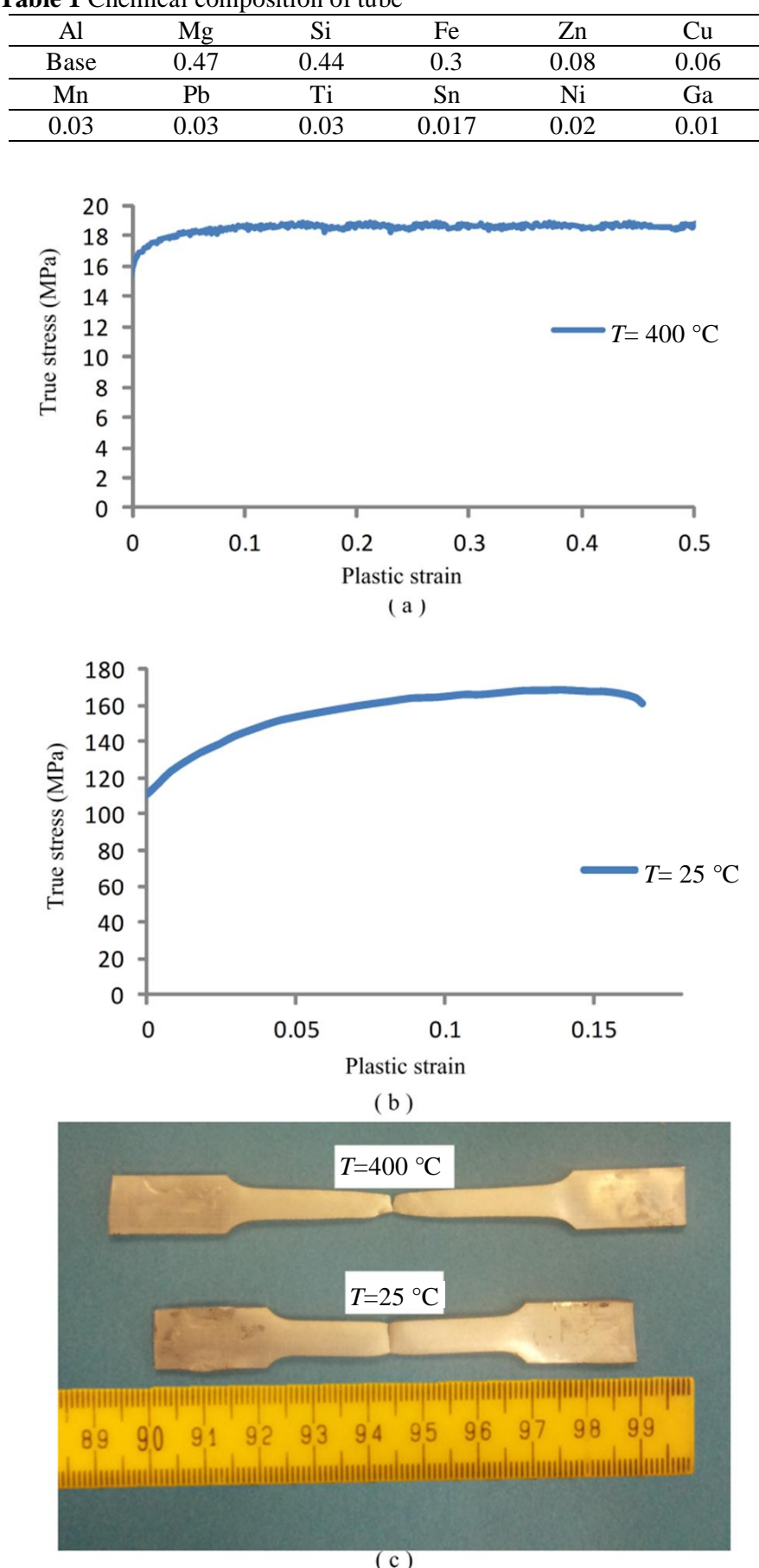


Fig. 2 (a) True stress-strain curve in 400 °C (b) Stress-strain curve in 25 °C (c) Tensile test specimen

شکل 2 (a) منحنی تنش-کرنش حقیقی در دمای 400 °C (b) منحنی تنش کرنش در دمای 25 °C (c) نمونه آزمایش کشش

قالب مربعی مورد استفاده در این پژوهش و ابعاد آن به صورت شماتیک در شکل 3 نشان داده شده است. این قالب از جنس فولاد spk می باشد که با استفاده از دستگاه تراش و دستگاه ماشین کاری تخلیه الکتریکی¹ با دقت بالا ماشینکاری شده است. این قالب دارای حفره ای مربعی با گوشه های تیز می باشد که لوله در داخل این حفره تغییر شکل می باید و به شکل مربع در می آید. قالب دارای چهار سوراخ سرتاسری نیز می باشد که محل قرارگیری المنت های الکتریکی می باشد. در شکل 3 نمایی از قالب ساخته شده نشان داده شده است.

1-spark

کردند و بدین ترتیب بین نواحی مختلف لوله گرادیان دمایی به وجود آوردند [12]. تومویوشی و همکاران با استفاده از روش مقاومتی دمای لوله آلومینیومی را تا حدود 500°C بالا برده و با استفاده از دمش هوا لوله آلومینیومی را برآمدگی کردند. در این مطالعه اثر فشار داخلی و شدت جریان بر روی نسبت انبساط بررسی شده است. مشاهده شده است که با افزایش جریان، نسبت انبساط ابتدا افزایش یافته سپس کاهش یافته و طول برآمدگی افزایش یافته است. با افزایش فشار داخلی نیز نسبت انبساط ابتدا افزایش یافته بعد ثابت مانده است. همچنین تغییر شکل، توزیع دما و تأثیر جنس قالب را مورد بررسی قرار دادند و به این نتیجه رسیدند که هرچه رسانندگی حرارتی قالب کمتر باشد، پرشدگی گوشه ها بهبود می یابد [13]. هاشمی و همکاران به کمک معیارهای شکست نرم اصلاح شده و با در نظر گرفتن تأثیر دما و نرخ کرنش در شکست، ترکیدگی لوله و شعاع گوشه قطعه مربعی را در هیدروفرمینگ گرم تا دمای 300°C پیش‌بینی کردند [1]. بررسی پژوهش های پیشین نشان می دهد تاکنون پژوهشی در زمینه فرایند دمش گاز در دماهای بالا برای تغییر شکل های پیچیده، مانند تبدیل مقطع دایره به مربع، انجام نشده است، همچنین تا به حال تأثیر زمان فرایند و توزیع ضخامت محصول در دمای بالا مورد توجه قرار نگرفته است.

در این پژوهش ابتدا برای اطمینان از افزایش شکل پذیری ماده در دمای 400°C و مشخص شدن امکان انجام شکل دهنده داغ لوله آلومینیومی 6063 در این دما، آزمایش کشش تک محوری برای نمونه هایی از این جنس انجام گرفت. سپس با ساخت تجهیزات شکل دهنده با دمش گاز در دماهای بالا، تغییر مقطع لوله های آلومینیوم 6063 از دایره به مربع به صورت تجربی انجام شد. هدف از انجام فرایند، تولید یک قطعه مربعی با گوشه های تیزتر و در عین حال، دارای توزیع ضخامت مناسب می باشد. به همین منظور شکل دهنده در دماهای 400°C و 500°C درجه با استفاده از فرایند دمش گاز انجام شده و اثر پارامترهای مختلف از قبیل دما، فشار و زمان اعمال فشار بر روی شعاع گوشه های شکل گرفته و توزیع ضخامت مورد بررسی قرار گرفته است. در نهایت در مورد محل پارگی نمونه ها و علت این پدیده نیز بحث شده است.

2- مراحل تجربی

در این پژوهش از لوله های آلومینیومی دارای قطر خارجی 40 mm و ضخامت اولیه 1.5 mm استفاده شده است. لوله ها بدون درز بوده و با فرایند اکستروژن تولید شده اند. ترکیب شیمیایی لوله ها با استفاده از آزمایش کوانتمتری تعیین شده که در جدول 1 نشان داده شده است. با توجه به ترکیب شیمیایی آلیاژ لوله AA6063 می باشد.

برای مقایسه رفتار مکانیکی ماده در دمای بالا و دمای محیط، آزمایش کشش تک محوری در دمای 400°C انجام شد و با نتایج آزمایش کشش تک محوری در دمای محیط مقایسه شد. شکل 2 نتایج حاصل از آزمایش کشش تک محوری در دمای 400°C و دمای محیط را نشان می دهد. مشاهده می شود این آلیاژ در دمای محیط دارای درصد افزایش طولی در حدود 17% می باشد، در حالی که در دمای 400°C دارای درصد افزایش طولی در حدود 50% می باشد. همچنین تنش تسلیم از 112 MPa در دمای 25°C در دمای 400°C کاهش می یابد. با توجه به اینکه، با افزایش دما از 25°C به 400°C افزایش چشم گیری در کرنش شکست و کاهش قابل توجهی در تنش تسلیم و به تبع آن کاهش در فشار مورد نیاز شکل دهنده مشاهده می شود، بنابراین انجام فرایند شکل دهنده دمشی در دماهای بالا برای آلیاژ آلومینیوم 6063 توجیه پذیر خواهد بود.

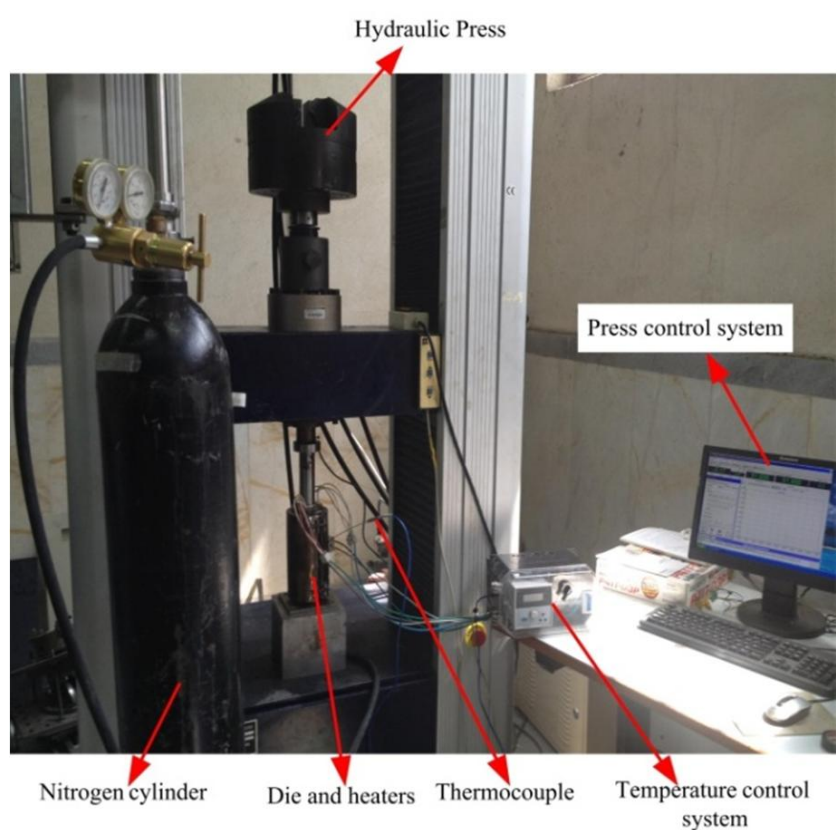


Fig. 4 Hot metal gas forming set up

شکل 4 مجموعه شکل دهنده داغ با دمش گاز

3- نتایج و بحث

با استفاده از فرایند شکل دهنده با دمش گاز در دماهای بالا و بدون اعمال تغذیه محوری، قطعاتی با سطح مقطع مربع که به صورت یکپارچه با مقطع دایروی می باشد تولید شده است. تعدادی از این قطعات در شکل 5 نشان داده شده است. این قطعات در دماهای 400°C و 500°C تولید شده و با قطعه تولید شده در دمای محیط مورد مقایسه قرار گرفته است.

3-1-3- مقایسه قطعه مربعی شکل داده شده توسط فرایند شکل دهنده دمشی و روش های مرسم شکل دهنده

در شکل 6 قطعه مربعی تولید شده توسط روش سنتی (جوش کاری) مقایسه شده با قطعه تولید شده توسط روش سنتی (جوش کاری) می باشد. در روش دمش گاز، نمونه ای مربعی شکل با سطح مقطع پیوسته با قسمت دایروی با شعاع گوشه های تیز در حدود 5-6mm در دمای 400°C شکل داده شده است. این نمونه بر خلاف قطعه جوش کاری شده فاقد خط جوش است بنابراین دارای خواص یکنواخت تری می باشد و عیوب متأثر از جوش کاری در این قطعه وجود ندارد. از آنجا که در روش شکل دهنده دمشی نمونه منبسط می شود، دارای نسبت استحکام به وزن بالاتری نسبت به نمونه جوش کاری شده است. تولید نمونه توسط روش جوش کاری بسیار زمان برتر و پرهزینه تر بوده است.

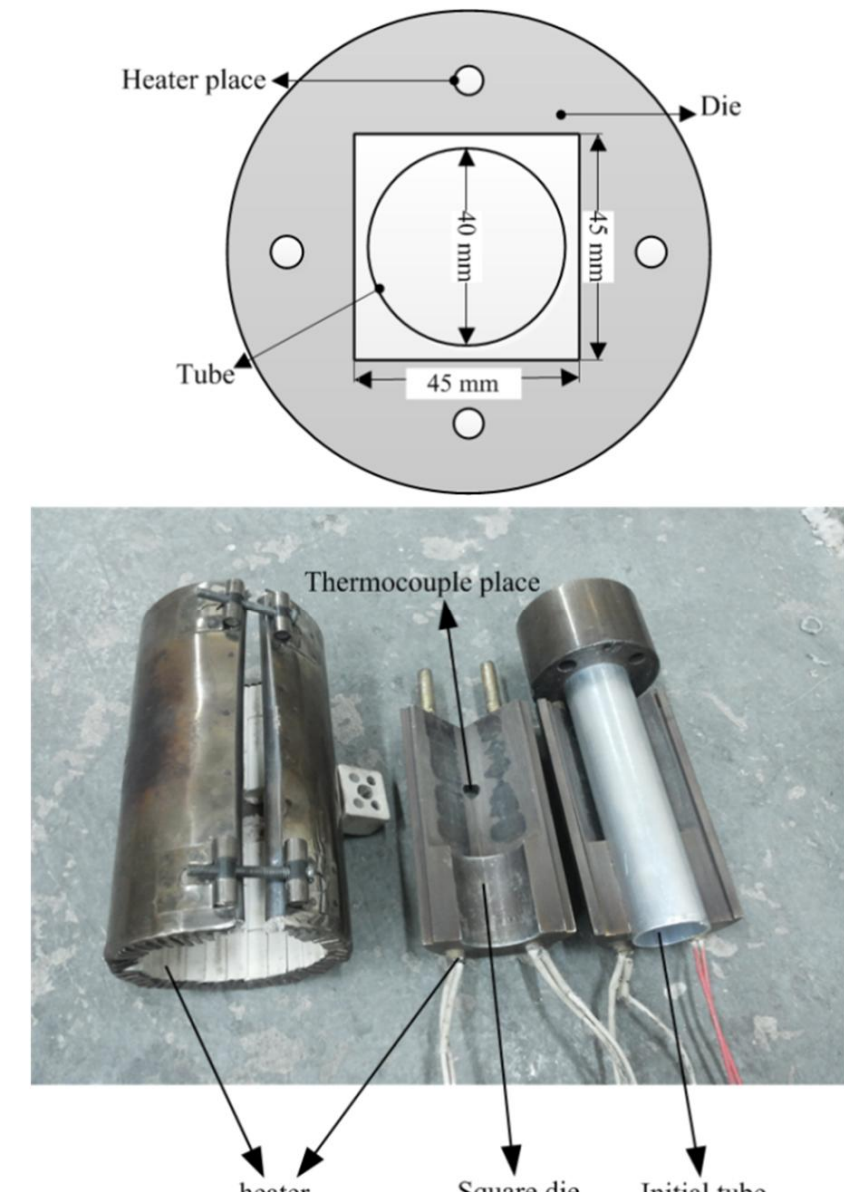
با تولید نمونه های مربعی با گوشه های تیز در دماهای بالا توسط فرایند شکل دهنده دمشی، محدودیت دمایی فرایند هیدروفرمینگ گرم از میان برداشته شد و امکان تولید نمونه هایی با گوشه های تیز و اشکال پیچیده فراهم شد.

3-2-3- تأثیر دما بر شعاع گوشه

یکی از خروجی های مهم فرایند، شعاع گوشه های قطعات مربعی می باشد. هر چقدر شعاع گوشه کوچکتر باشد، یعنی قطعه بیشتر شکل گرفته و نتیجه مطلوب تری حاصل شده است. برای اندازه گیری شعاع های شکل گرفته شده در دماهای مختلف، از شابلون اندازه گیری شعاع استفاده و تغییرات شعاع

برای رساندن دمای مجموعه به محدوده $400-500^{\circ}\text{C}$ از چهار عدد گرمکن فشنگی با توان 800 وات و یک عدد گرمکن کمرنگی به توان 2000 وات استفاده شده است. مجموعه گرمکن ها در شکل 3 نشان داده شده است. برای اندازه گیری دمای لوله، در قالب سوراخ با سطح خارجی لوله تماس پیدا می کند و دمای سطح لوله را با دقت 1°C اندازه گیری می کند. ترموموکوپل به یک سیستم کنترل کننده متصل می باشد. این سیستم کنترل کننده با توجه به دمایی که از ترموموکوپل دریافت می کند و دمایی که بر روی سیستم تنظیم شده است ولتاژ ورودی به گرمکن های الکتریکی را کنترل می کند. بعد از اینکه دمای لوله به دمای مورد نظر برسد، سیستم کنترل کننده جریان ورودی به گرمکن ها را قطع می کند تا دمای مجموعه بیشتر نشود. اگر دمای لوله کمتر از دمای مورد نظر شود، سیستم کنترل کننده جریان الکتریسیته را به گرمکن ها وارد می کند تا از کاهش دما جلوگیری شود.

بعد از اینکه دمای لوله به دمای هدف رسید، مدتی لوله در همان دما نگه داشته می شود تا به توزیع دمای یکنواختی برسد. سپس با استفاده از یک کپسول نیتروژن، فشار داخلی اعمال می شود. فشار به صورت خطی و آرام اعمال می شود تا به فشار نهایی برسد. برای آبندی لوله در دو انتهای آن، از دو مخروط فلزی استفاده شده است. این مخروط های فلزی از دو سمت توسط پرس هیدرولیک با فشار، درون لوله قرار می گیرد و مانع از نشت گاز نیتروژن از لوله می شود. میزان جابجایی و نیرویی که این پرس هیدرولیک وارد می کند توسط یک سیستم کامپیوترا کنترل می شود. مجموعه تجهیزات مورد استفاده در فرایند شکل دهنده داغ با دمش گاز در شکل 4 نشان داده شده است.



شکل 3 قالب شکل دهنده داغ با دمش گاز

استفاده از این خاصیت آلومینیوم 6063 می توان گوشه هایی تیز یا اشکالی پیچیده را برای این آلیاژ در دماهای بالا به وجود آورد.

3-3- تأثیر دما بر توزیع ضخامت

خروجی دیگری که باید مورد بررسی قرار گیرد توزیع ضخامت در راستای محیطی قطعه مربعی می باشد. برای اندازه گیری ضخامت در نقاط مختلف، ابتدا مطابق شکل ۸، قطعه ای مربعی شکل گرفته شده، توسط دستگاه برش سیمی^۱ در راستای محیطی برش زده و سپس با استفاده از میکرومتر ضخامت در نقاط مختلف اندازه گرفته شده است. شکل ۸ تغییرات ضخامت را در سطح مقطع لوله با ضخامت اولیه ۱.۵mm، بعد از شکل دهی در سه دمای ۲۵، ۴۰۰ و ۵۰۰ °C نشان می دهد. نتایج نشان می دهد در دمای محیط به دلیل اینکه تغییر شکل بسیار کمی به وجود آمده، نازک شدنی کم می باشد و ضخامت به طور همگن در اکثر نقاط توزیع شده است. کمینه ضخامت در دمای محیط ۱.۲۷mm می باشد. در دمای ۴۰۰ °C و ۵۰۰ °C میزان تغییر شکل بسیار بیشتر از دمای محیط بوده و گوشه ها بیشتر پر می شود، لذا جریان مواد بیشتری رخ داده و در نتیجه کاهش ضخامت محسوسی نسبت به دمای محیط خواهیم داشت. با افزایش دما از ۴۰۰ °C به ۵۰۰ °C، ساعت گوشه از ۶.۵mm به ۵.۸mm خواهد رسید. با شکل گیری شعاع های کوچکتر در دمای ۵۰۰ °C، نیاز به آن می باشد که لوله بیشتر منبسط شود و در نتیجه ضخامت قطعه کمتر شود تا گوشه های قطعه بیشتر شکل بگیرد، به طوری که کمینه ضخامت از ۱.۱۱mm در دمای ۴۰۰ °C به ۱.۰۷mm در دمای ۵۰۰ °C می رسد.

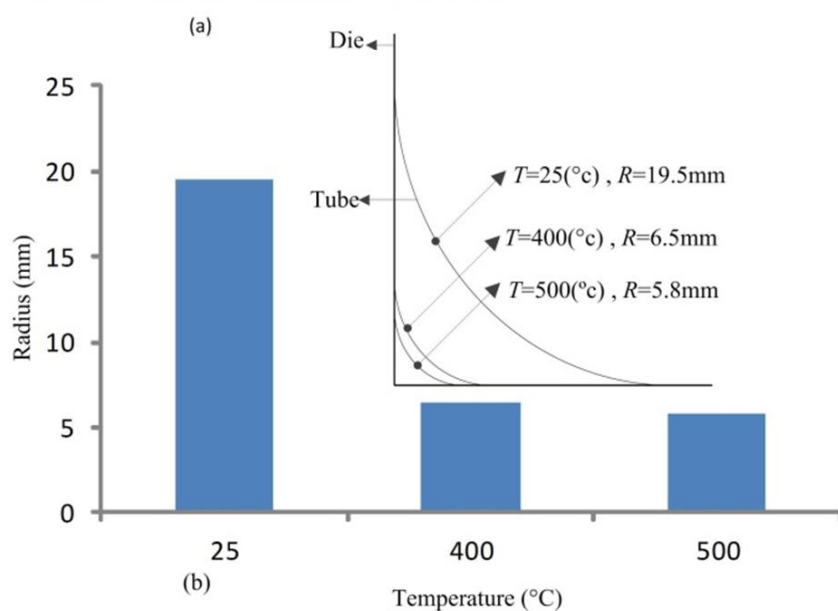


Fig. 7 (a) Radius measurement (b) Effect of temperature on corner radius

شکل 7 (a) اندازه گیری شعاع (b) تأثیر دما بر شعاع گوشه

1- Wire cut



Fig. 5 Square specimens shaped in different temperature

شکل 5 قطعات مربعی شکل داده شده در دماهای مختلف

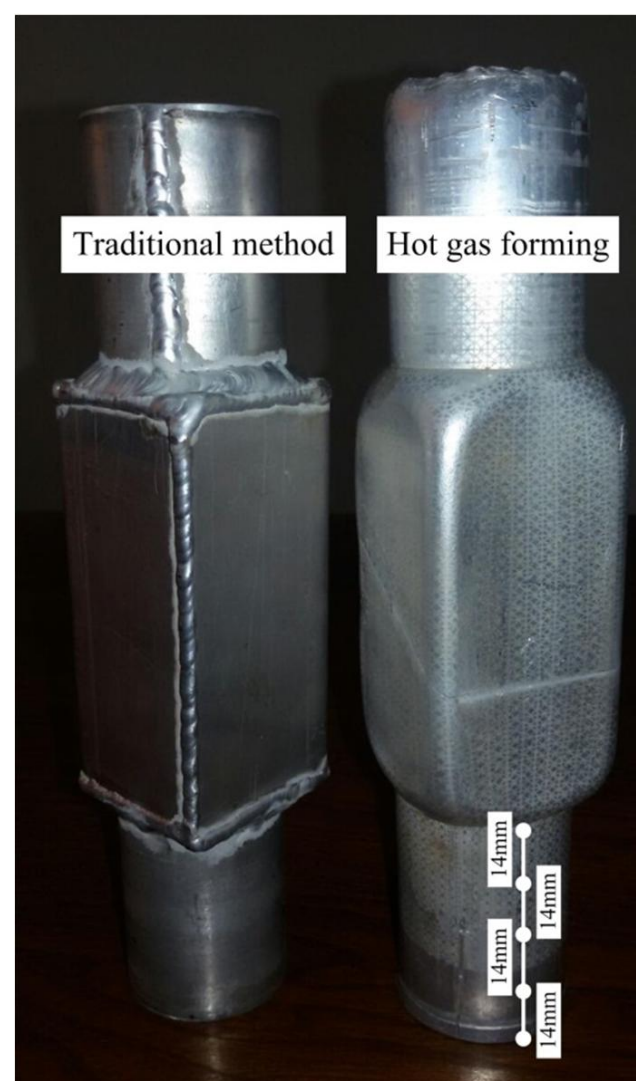


Fig. 6 Specimens formed with Traditional and Hot gas forming method
شکل 6 قطعات شکل داده شده توسط روش سنتی و شکل دهنده با دمش گاز در دمای ۴۰۰°C

گوشه در دماهای مختلف مقایسه گردید (شکل ۷). مشاهده می شود حداقل شعاع گوشه ای که می توان در دمای محیط شکل داد ۱۹.۵ mm می باشد. در حالی که با انجام فرایند در دماهای نزدیک به نقطه ذوب، که ماده در آن خمیری می باشد، شعاع در دمای ۴۰۰°C به میزان ۶۶.۶% و در دمای ۵۰۰°C، ۷۰.۲% نسبت به دمای محیط کاهش می یابد، به طوریکه شعاع گوشه به ۶.۵ mm در دمای ۴۰۰°C و ۵.۸ mm در ۵۰۰°C خواهد رسید. نتایج حاکی از آن است که آلومینیوم 6063 در دماهای بالا و نزدیک به نقطه ذوب، تغییر شکل بسیار بیشتری را بدون پارگی از خود نشان می دهد. با

به طور قابل توجهی کاهش یابد. فشارهای مورد نیاز برای شکل دهی در دماهای 25 و 400 و 500 °C در شکل 10 نشان داده شده است. مشاهده می شود با افزایش دما از 25°C به 400°C و 500°C کاهش چشمگیری در فشار شکل دهی به وجود می آید. فشار مورد نیاز برای رسیدن به شعاع گوشه 19.5 mm در دمای محیط برابر 157 bar می باشد در حالی که این فشار در دماهای 400 و 500 °C و برای شعاع های 6.5 mm و 5.8 mm به 5.8 bar و 20 bar کاهش پیدا می کند. کاهش فشار شکل دهی در دماهای بالا سبب کاربرد پرس با ظرفیت کم، کنترل راحت تر درجه حرارت، کاهش نیروی نگهدارنده، نیاز به فضای کارگاهی کوچک تر و کاهش هزینه ساخت قالب و اتصالات می گردد. همچنین با روش های ساده تر و کم هزینه تر می توان فشار داخلی را تامین کرد. برای مثال بجای پمپ های هیدرولیک برای تامین فشار داخلی، می توان از کپسول گاز خنثی یا هوا استفاده کرد.

3-5- تأثیر زمان اعمال فشار بر شعاع گوشه

در دماهای بالا رابطه تنش سیلان به صورت معادله (1) می باشد.

$$\sigma = K \cdot \epsilon^m \quad (1)$$

در این معادله σ تنش سیلان، ϵ نرخ کرنش، K ضریب استحکام و m توان حساسیت به نرخ کرنش می باشد. یکی از پارامترهای تأثیرگذار بر فرایند، زمان اعمال فشار می باشد. با افزایش زمان اعمال فشار، نرخ کرنش کاهش می یابد. با توجه به رابطه (1) انتظار می رود با کاهش نرخ کرنش، تنش تسلیم کاهش یابد و میزان تغییر شکل و پرشدگی گوشه ها در فشاری ثابت بیشتر شود. در شکل 11 دو نمونه از قطعات شکل گرفته شده در دمای 500 و 400 °C فشار 9 bar نشان داده شده است. در قطعه (a) زمان رسیدن به فشار نهایی

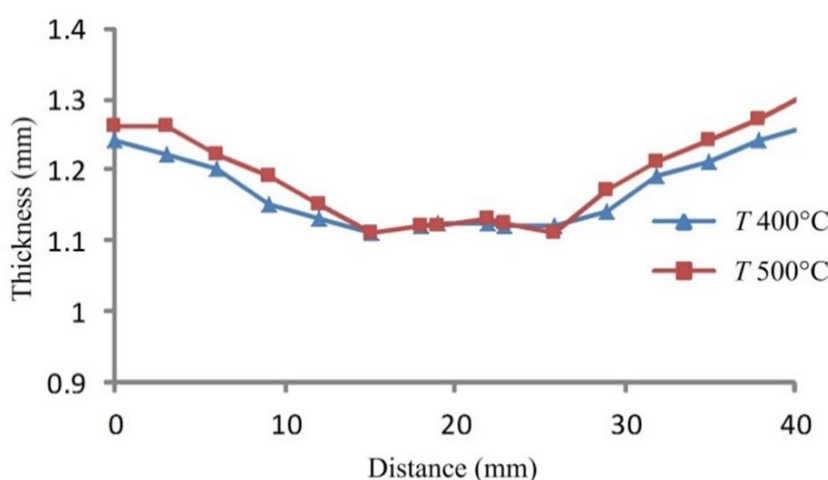


Fig. 9 Thickness distribution at different temperature and 6.5mm radius
شکل 9 توزیع ضخامت در دماهای مختلف و شعاع ثابت 6.5mm

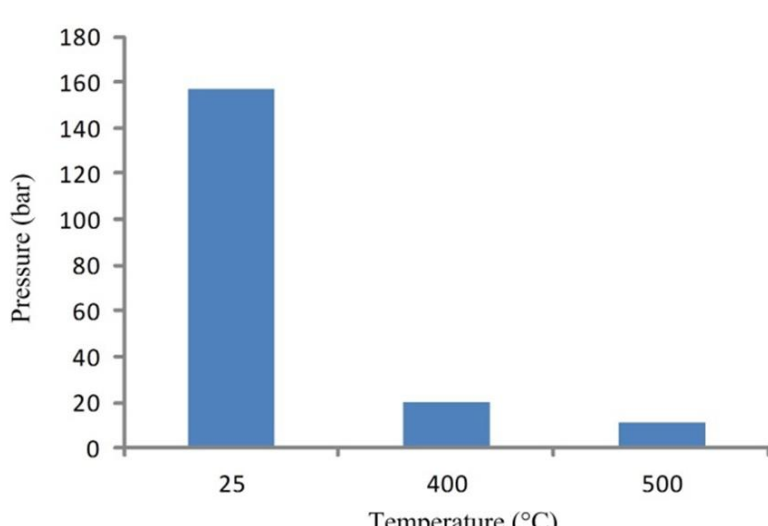
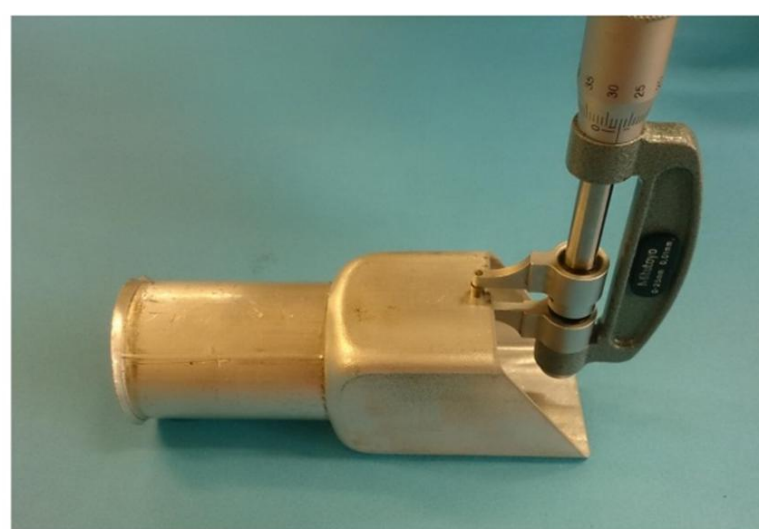


Fig. 10 Effect of temperature on forming pressure

شکل 10 تأثیر دما بر فشار شکل دهی



(a)

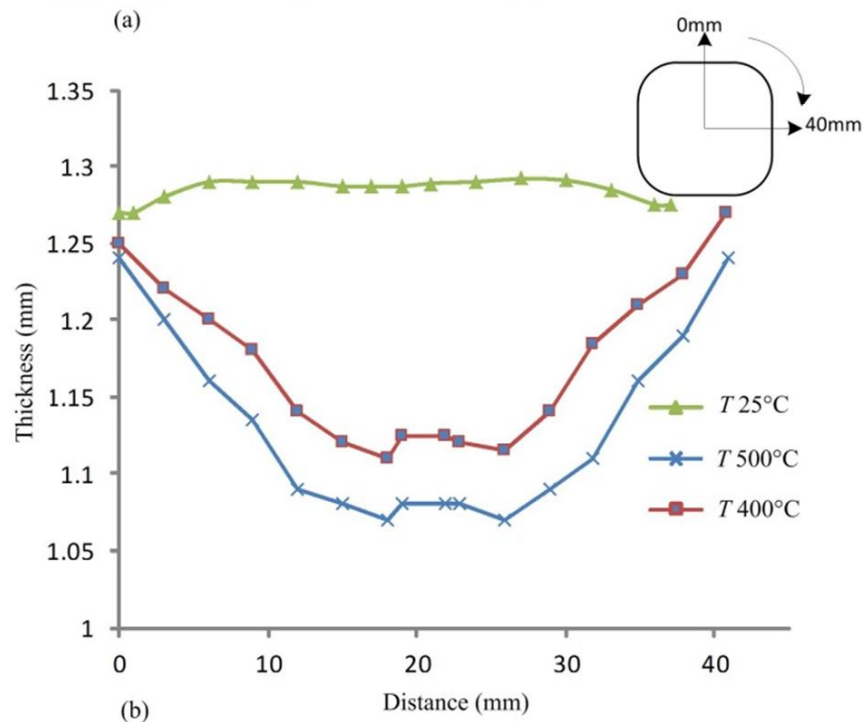


Fig. 8 (a) Thickness measurement (b) Effect of temperature on thickness distribution

شکل 8 (a) اندازه گیری ضخامت (b) تأثیر دما بر توزیع ضخامت

شکل 8 تغییرات ضخامت را برای قطعات شکل داده شده در دماهای 25 و 400 و 500 °C نشان می دهد که دارای شعاع گوشه های مختلف می باشند. برای اینکه بتوان تأثیر واقعی دما را بر توزیع ضخامت بررسی کرد، یک قطعه دیگر در دمای 500 °C و با فشار کنترل شده تولید گردید تا دارای شعاعی در حدود 6.5mm باشد. سپس توزیع ضخامت این قطعه با استفاده از میکرومتر به دست آمد و با قطعه تولید شده در دمای 400 °C مورد مقایسه قرار گرفت. شکل 9 نتایج حاصل از این اندازه گیری را نشان می دهد. مشاهده می شود اکثر نقاط شکل گرفته شده در دمای 500 °C دارای ضخامت بیشتری نسبت به قطعه شکل گرفته شده در دمای 400 °C می باشد، در نتیجه احتمال پارگی قطعه طی فرایند شکل دهی کمتر می شود. با افزایش دما، ضریب اصطکاک افزایش پیدا می کند. در نتیجه قسمت هایی از قطعه که با قالب در تماس می باشد سخت تر جریان می یابد و ضخامت آن قسمت ها کمتر کاهش می یابد. از طرفی با افزایش دما کرنش شکست افزایش می یابد و قطعه توانایی آن را دارد که به مقدار بیشتری تغییر شکل یابد. همانطور که در شکل 9 نیز نشان داده شده است ضخامت ناحیه در تماس با قالب و اختلاف ضخامت کمینه و بیشینه در دمای 500 °C بیشتر از دمای 400 °C می باشد.

4-3- تأثیر دما بر فشار شکل دهی

همان طور که در شکل 2 نشان داده شده است، با افزایش دما از 25 °C به 400 °C تنش تسلیم به طور چشمگیری کاهش می یابد و از 112 MPa به 16 MPa می رسد، بنابراین انتظار می رود که با افزایش دما، فشار شکل دهی

پارگی ها در ابتدای قسمت مربعی که در آن سطح مقطع دایره به مربع تبدیل می شود، اتفاق می افتد. در این ناحیه به علت تغییر مقطع زیادی که در قطعه به وجود می آید، نسبت به سایر نقاط، تغییر شکل بیشتری روی می دهد. به همین دلیل این ناحیه زودتر از سایر نقاط دچار پارگی می شود. برای جلوگیری از پارگی در این ناحیه، می بایست در دو انتهای لوله تغذیه محوری اعمال شود تا از نازک شدن بیش از حد در ناحیه تبدیل مقطع دایره به مربع جلوگیری شود. با افزایش تغذیه محوری، گوشه های قالب بیشتر شکل می گیرد (گوشه ها تیزتر می شود) و نازک شدن بیشتر شکل انتقال به سمت وسط قطعه (در راستای طولی) انتقال می یابد. در صورت وجود تغذیه محوری به ناحیه وسط قطعه کار ماده کمتری نسبت به سایر نقاط قطعه تغذیه می شود، و زودتر از سایر نقاط دچار پارگی می شود.

4- نتیجه گیری

در این پژوهش با ساخت تجهیزات شکل دهنده با دمش گاز در دماهای بالا، به شکل دهنده داغ لوله های آلومینیومی و تبدیل این لوله ها به مقطع مربع پرداخته شده است. اثر دما بر شعاع گوشه، توزیع ضخامت، فشار شکل دهنده و تأثیر زمان اعمال فشار بر شکل گیری شعاع گوشه و همچنین علت پارگی به صورت تجربی مورد بررسی قرار گرفته است.

نتایج به دست آمده از این پژوهش عبارت است از:

- نتایج نشان می دهد فرایند شکل دهنده دمشی در دماهای بالا، روشی مناسب جهت شکل دادن آلیاژ هایی می باشد که شکل پذیری کمی در دمای اتاق دارند اما در دماهای بالا شکل پذیری آنها افزایش چشم گیری پیدا می کند، از قبیل: آلومینیوم، تیتانیوم و منیزیم. همچنین این روش برای فلزاتی از قبیل فولاد که در دمای اتاق استحکام بالایی دارند مناسب است، زیرا با انجام فرایند در دماهای بالا کاهش قابل توجهی در تنفس سیلان به وجود می آید و می توان با فشاری کمتر و تجهیزات ساده تر و ارزان تر قطعه را شکل داد.

- شعاع در دمای 400°C ۶۶.۶٪ و در دمای 500°C ۷۰.۲٪
- نسبت به دمای محیط کاهش می یابد. شعاع از ۱۹.۵mm در 25°C به ۶.۵mm در 400°C و ۵.۸mm در 500°C می رسد. این نتایج نشان می دهد که برای رسیدن به گوشه هایی تیز در قطعات مربعی با آلیاژ آلومینیوم 6063، فرایند بایستی در دماهای بالا و نزدیک به نقطه ذوب (حدود $400\text{-}500^{\circ}\text{C}$) انجام گیرد. در این دماها ماده تغییر شکل بسیار بیشتری را بدون پارگی از خود نشان می دهد.

- با افزایش دما و کاهش شعاع گوشه به دلیل تغییر شکل پلاستیک بیشتر، کمینه ضخامت کاهش می یابد و توزیع غیر یکنواخت تری از ضخامت خواهیم داشت، اما در صورتی که شعاع در دماهای متفاوت یکسان باشد، در دمای بالاتر، ضخامت بیشتر خواهد شد.

- با افزایش دما، کاهش چشم گیری در فشار شکل دهنده به وجود می آید. فشار شکل دهنده از ۱۵۷ bar در دمای محیط به ۲۰ bar در دمای 400°C و ۱۱ bar در دمای 500°C می رسد. این کاهش محسوس در فشار مورد نیاز برای شکل دهنده، سبب کاهش هزینه های ساخت قالب و اتصالات و همچنین استفاده از منبع تامین فشار ساده تر و ارزان تر خواهد شد.

30 ثانیه و در قطعه (b) این زمان ۹۰ ثانیه می باشد. نتایج اندازه گیری شعاع های قطعات مربعی حاکی از آن است که با افزایش زمان اعمال فشار، گوشه های تیزتری شکل می گیرد. همانطور که در شکل ۱۱ نشان داده شده است، شعاع گوشه های شکل گرفته شده در مدت زمان ۳۰ ثانیه (قطعه (a)) برابر 7.6 mm و شعاع شکل گرفته شده در مدت زمان ۹۰ ثانیه (قطعه (b)) برابر با 7 mm می باشد.

6- بررسی علت و محل پارگی

بررسی نقاط پارگی در قطعات نشان می دهد اکثر نمونه ها در یک ناحیه مشخص دچار پارگی می شوند. این ناحیه در شکل ۱۲ نشان داده شده است.

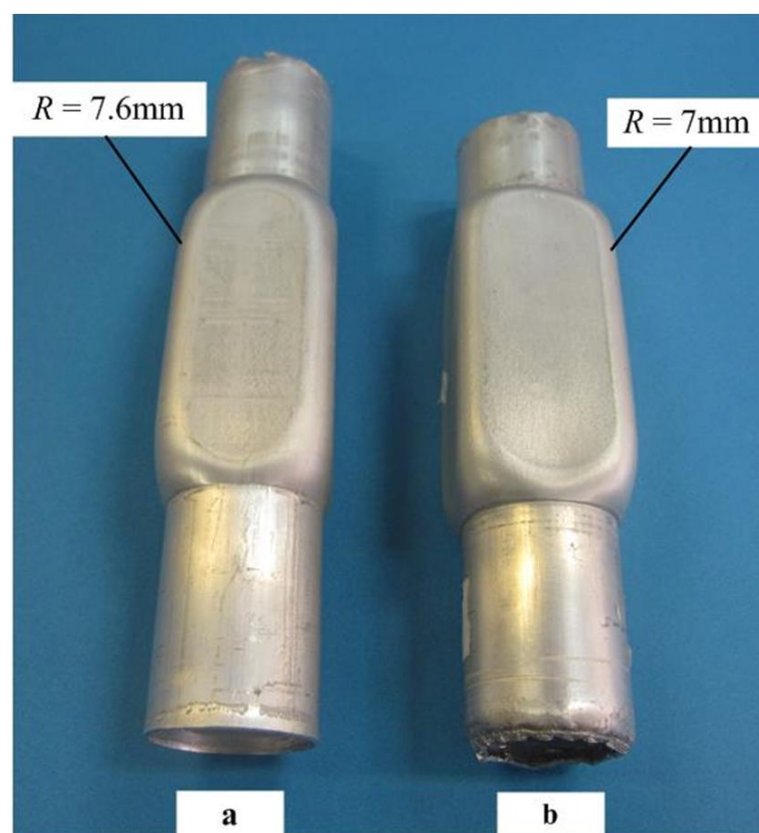


Fig. 11 Work pieces obtained at different pressure applying time (a) Time 30s (b) Time 90s

شکل ۱۱ قطعات تولید شده در زمان های اعمال فشار مختلف (a) ۳۰ ثانیه (b) ۹۰ ثانیه

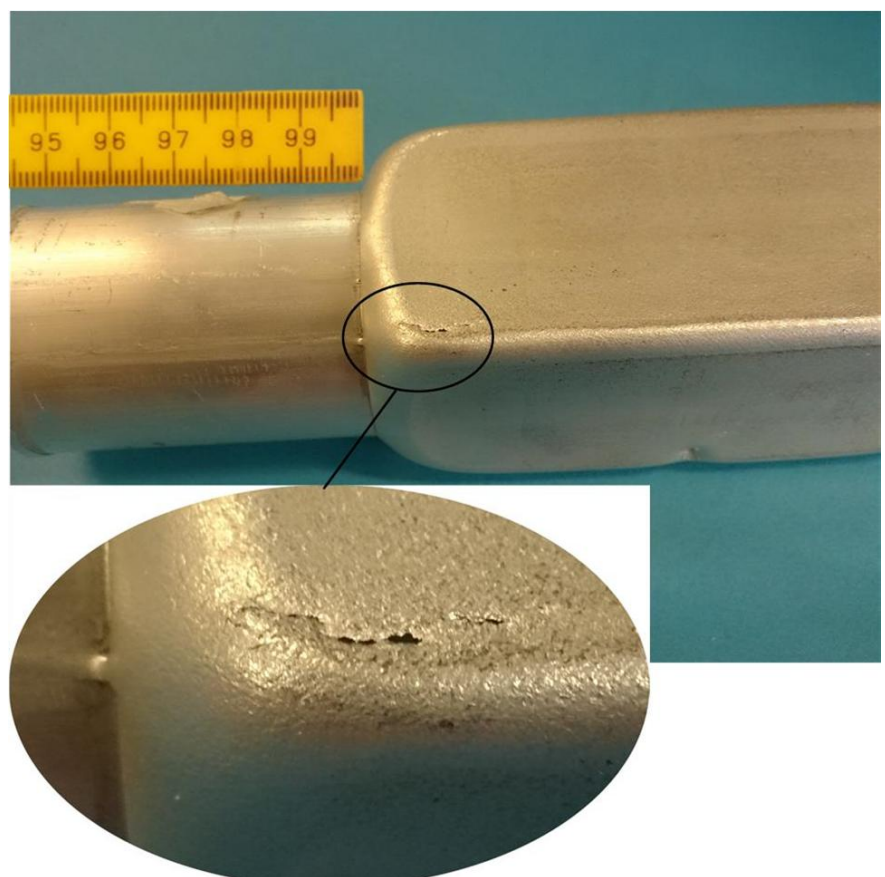


Fig. 12 Bursting area in final specimen

شکل ۱۲ ناحیه پارگی در قطعه نهایی

- Yong Lee, Effects of pre-treatment conditions on warm hydroform ability of 7075 aluminum tubes, *Journal of Materials Processing Technology*, Vol. 155-156, pp. 1337-1343, 2004
- [6] Michael Keigler, Herbert Bauer, David Harrison, Anjali K.M. De Silva, Enhancing the formability of aluminum components via temperature controlled hydroforming, *Journal of Materials Processing Technology*, Vol. 167, pp. 363-370, 2005
- [7] Shijian Yuan, Jun Qi, Zhubin He, An experimental investigation into the formability of hydroforming 5A02 Al-tubes at elevated temperature, *Journal of Materials Processing Technology*, Vol. 177, pp. 680-683, 2006
- [8] Ho Choi, Muammer Koc, Jun Ni, A study on the analytical modeling for warm hydro-mechanical deep drawing of lightweight materials, *International Journal of Machine Tools & Manufacture*, Vol. 47, pp. 1752-1766, 2007
- [9] M.S. Zouei, M. Farzin, A.H. Mohammadi, Finite element analysis and experimental investigation on gas forming of hot aluminum alloy sheet, *Modares Mechanical Engineering*, Vol. 11, No. 2, pp. 49-56, 2011. (in Persian)
- [10] S.M.H. Seyedkashi, H.Moslemi Naeini, G.H. Liaghat, M. Mosavi Mashadi, Y.H. Moon, Numerical and experimental study on the effects od expansion ratio, corner fillets and strain rate in warm hydroforming of aluminum tubes, *Modares Mechanical Engineering*, Vol. 12, No. 5, pp. 122-131, 2012. (in Persian)
- [11] HE Zhu-bin¹, FAN Xiao-bo, SHAO Fei, ZHENG Kai-lun, WANG Zhi-biao, YUAN Shi-jian, Formability and microstructure of AA6061 Al alloy tube for hot metal gas forming at elevated temperature, *Transaction of nonferrous metals*, Vol. 22, pp. 364-369, 2012
- [12] LIU Gang, ZHANG Wen-da, HE Zhu-bin, YUAN Shi-jian, LINZhe, warm hydroforming of magnesium alloy tube with large expansion ratio within non-uniform temperature field, *Transaction of nonferrous metals*, Vol. 22, pp. 408-415, 2012
- [13] T. Maeno, K. I. Mori, C. Unou, Improvement of die filling by prevention of temperature drop in gas forming of aluminum alloy tube using air filled into sealed tube and resistance heating, *Procedia Engineering*, Vol. 81, pp. 2237-2242, 2014.

- با افزایش زمان اعمال فشار، پرشدگی گوشها بیشتر خواهد شد، به طوری که با افزایش زمان اعمال فشار از 30 ثانیه به 90 ثانیه در دمای 500 °C و فشار 9 bar، شعاع گوشه از 7.6mm به 7mm کاهش می یابد.

- برای جلوگیری از پارگی در ناحیه انتقال سطح مقطع دایره به مربع، بایستی به دو انتهای لوله تغذیه محوری اعمال گردد تا با افزایش پرشدگی گوشها، ناحیه پارگی به وسط قطعه کار منتقل شود و پارگی دیرتر رخ دهد.

5- مراجع

- [1] S.J. hashemi, H. Moslemi Naeini, G.H. Liaghat, J. Shahbazi Karami, A.H. Roohi, Prediction of Bursting in Warm Tube Hydroforming using Modified Ductile Fracture Criteria, *Modares Mechanical Engineering*, Vol. 14, No. 16, pp. 211-201, 2015. (in Persian)
- [2] S. Novotny, M. Geiger, Process design for hydroforming of lightweight metal sheets at elevated temperatures, *Journal of Materials Processing Technology*, Vol. 138, No. 1, pp. 594-599, 2003.
- [3] HE Zhu-bin, TENG Bu-gang, CHE Chang-yong, WANG Zhi-biao, ZHENG Kai-lun, YUAN Shi-jian, Mechanical properties and formability of TA2 extruded tube for hot metal gas forming at elevated temperature, *Transaction of nonferrous metals*, Vol. 22, pp. 479-484, 2012
- [4] H. Moslemi Naeini, S.J. Hashemi, G.H. Liaghat, M. Mohammadi, H. Deilami Azodi, Analytical prediction of limit strains and limit stresses in hydroforming of anisotropic aluminum, *Modares Mechanical Engineering*, Vol. 14, No. 2, pp. 133-140, 2014. (in Persian)
- [5] Mun-Yong Lee, Sung-Man Sohn, Chang-Yong Kang, Dong-Woo Suh, Sang-